

• DIE KRISE DER KLASSISCHEN PHYSIK

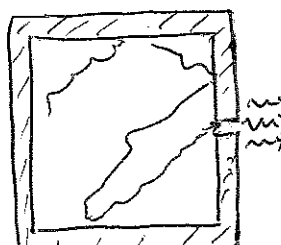
Am Ende des 19. Jahrhunderts schien die Physik fast vollständig verstanden (Newton'sche Mechanik, Maxwell'sche Elektrodynamik,...). Aber in dieser Zeit tauchten experimentelle Befunde auf, die sich mit dem existierenden Gebäude nicht in Einklang bringen ließen. Diese Experimente verlangten eine Erklärung, und die Suche nach dieser Erklärung führt in die Quantenphysik.

• DIE KOHLRAUMSTRAHLUNG

Wenn ein Körper erhitzt wird, wird der Körper ausstrahlen (thermische Austrahlung). In das Gleichgewicht wird die Energiedichte aufgestrahlt in einer bestimmten Wellenlänge⁽¹⁾ eine Funktion der Temperatur T:

$$\underbrace{\{ \quad \} \longrightarrow \text{Austrahlung}}_{\text{HIRE}} u(\lambda, T)$$

Ein Schwarzer Körper ist ein Körper, der maximal (vollständig) absorbiert. Für einen schwarzen Körper wird $u(\lambda, T)$ eine universelle Funktion von λ und T (also unabhängig des Materials, z.B.). Um diese Strahlung des schwarzen Körpers zu studieren, kann man folgendermaßen machen. Man bereitet ein (fast vollständig) ~~geschlossener~~ geschlossener Kohlraum mit einem kleinen Loch. Der Kohlraum wird erhitzt bis zur T. Die innere Wände des Kohlraums strahlen und absorbieren die Strahlung (Gleichgewicht). Durch den Loch kommt Schwarzer-Körper-Strahlung raus.



Derwegen heißt diese Strahlung (auf Deutsch) Kohlraumstrahlung.

Rayleigh - Jeans - Gleichung (klassisch)

- Wir betrachten nun zuerst die klassische Rechnung der Physiker (Rayleigh, 1900)
- Wir betrachten stehende ebene Wellen im Hohlraum mit reflektierenden Metallwänden (Randbedingungen).
- Diese Wellen sind die Lösung der Wellengleichung (mit den Randbed.)

$$\left(\frac{1}{c^2} \frac{\partial^2}{\partial t^2} - \nabla^2\right) E_i = 0 \rightarrow E_i = e^{i\omega t} \sin(k_1 x_1) \sin(k_2 x_2) \sin(k_3 x_3)$$

wobei $\vec{k} = \frac{\pi}{L} (n_1, n_2, n_3)$ → wegen Randbedingungen.
 wobei $\omega = ck$
- Wir wollen nun die Energiedichte reduzieren.
 Also wir müssen die Anzahl der Wellen zwischen ω und $\omega + d\omega$ rechnen.

* Das wäre ~~ca.~~ $\frac{1}{8}$ der Punkte in einer Δk -Schale eines Kugels mit Radius K .

$$\frac{1}{8} dn_1 dn_2 dn_3 = \frac{1}{8} \frac{4\pi k^2 dk}{(\pi/L)^3} = \frac{L^3}{2\pi^2 c^3} \omega^2 dw$$

(Gleichverteilungssatz der klass. Phys.)

Jede stehende Welle entspricht einem Oszillatoren mit Energie $k_B T$ (k_B = Boltzmann-Konstante), also eine Energie pro Volumen $\frac{k_B T}{L^3}$

Also damit liegen wir eine Energiedichte: außer Konstanten

$$u(\omega, T) dw \approx \frac{L^3}{2\pi^2 c^3} \omega^2 \frac{k_B T}{L^3} dw \rightarrow u(\omega, T) \underset{\downarrow}{\sim} \frac{k_B T}{c^3} \omega^2$$

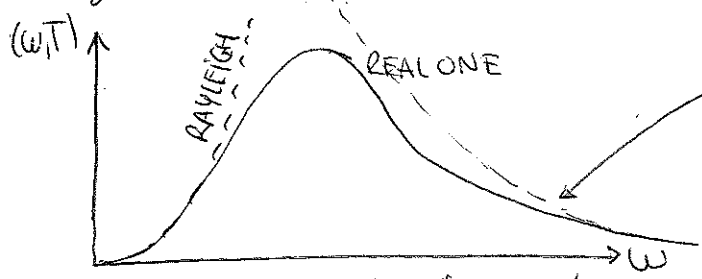
• Also klassisch, geht die Energiedichte der Strahlung als $\sim \omega^2$.

Aber das kann nicht sein !!!

Sonst: $\int_0^\infty u(\omega) dw = \infty$ ↗ Der schwarze Körper würde eine unendliche Energie aufnehmen !!. (Ulkamplikatophie)

Etwas stimmt nicht in der klassischen Rechnung, aber war?

* Eigentlich sieht die Energiedichte mehr so aus:



vergibt es keine Katastrophe!

Hier zerfällt $u(\omega, T)$ exponentiell
(Wien-Gesetz)

$$u(\omega, T) \sim e^{-\gamma \omega / T}$$

(wobei γ eine Konstante ist)

In 1900 Max Planck fand eine (nur ganz empirisch)
Formel der thermischen Strahlung

$$u(\omega, T) \sim \frac{\pi}{C^3} \frac{\omega^3}{e^{\frac{\hbar \omega}{k_B T}} - 1} \quad \left(\text{wobei } k_B \text{ eine Konstante ist} \right) \quad \left(\hbar \approx 10^{-34} \text{ J/s} \right)$$

Diese Formel interpoliert zwischen Rayleigh- und Wien-Gesetz

* $\hbar \omega \ll k_B T \rightarrow$ Rayleigh (weil $e^{\frac{\hbar \omega}{k_B T}} \approx 1 + \frac{\hbar \omega}{k_B T}$)

* $\hbar \omega \gg k_B T \rightarrow$ Wien ($(e^{\frac{\hbar \omega}{k_B T}} - 1) \approx e^{-\frac{\hbar \omega}{k_B T}}$)

Anders umgeschrieben:

$$u(\omega, T) \sim \frac{\omega^2}{C^3} k_B T \left(\frac{\frac{\hbar \omega}{k_B T}}{e^{\frac{\hbar \omega}{k_B T}} - 1} \right)^{\text{som}} \quad \begin{array}{l} \text{Klassisch da vor} \\ \text{ein } 1 \end{array} \quad \begin{array}{l} \text{Klassische} \\ \text{Gleichverteilungssatz} \end{array}$$

: Also die Formel funktioniert ganz gut. Aber warum?

Zwei Monate später (!!) fand Planck den Antwort.

Die Energie jeder Strahlungsmodus variiert nicht kontinuierlich
wie ein klassischer harmonischer Oszillator mit Durchschnitt T ,

hier Energie war ~~konstant~~ in "Päckchen" mit einer bestimmten

(frequenzabhängigen) Energie \Rightarrow Die Quanta !!
ausgestrahlt

Sagen wir, daß für eine bestimmte Frequenz ω , diese "Päckchen" eine Energie E haben.

(Wir werden nun hier Ideen der statistischen Physik benutzen. Es ist nicht notwendig, daß ihr alles in Allem versteht, nur die Idee, daß die Quantisierung der Energie erklärt die Form der $u(\omega, T)$ Kurve).

Boltzmann Wahrscheinlichkeitsverteilung

$$P(E) = \frac{e^{-E/k_B T}}{\sum_E e^{-E/k_B T}} = \text{das gibt mir die Wahrscheinlichkeit zu finden, die Mode } (\omega) \text{ mit Energie } (E) \text{ zu}$$

Also die gesuchte Energie (für die Mode ω) ist:

$$\bar{E} = \sum_E E P(E)$$

Aber die Energie gliht in Päckchen (E): $E = nE$

$$\bar{E} = \frac{\sum_{n=0}^{\infty} nE e^{-nE/k_B T}}{\sum_{n=0}^{\infty} e^{-nE/k_B T}}$$

$$\sum_{n=0}^{\infty} (e^{-E/k_B T})^n = \frac{1}{1 - e^{-E/k_B T}} \quad (\text{eine geometrische Reihe})$$

$$\begin{aligned} \sum_{n=0}^{\infty} nE e^{-nE/k_B T} &\stackrel{x=E/k_B T}{=} E \sum_{n=0}^{\infty} n e^{-nx} = E \sum_{n=0}^{\infty} \left(-\frac{d}{dx} e^{-nx} \right) = \\ &= -E \frac{d}{dx} \sum_{n=0}^{\infty} e^{-nx} = -E \frac{d}{dx} \frac{1}{(1-e^{-x})} = \frac{E e^{-x}}{(1-e^{-x})^2} \end{aligned}$$

$$\text{Also } \bar{E} = \frac{\frac{E e^{-x}}{(1-e^{-x})^2}}{\frac{1}{(1-e^{-x})}} = \frac{E}{e^x - 1} = \frac{E}{e^{E/k_B T} - 1}$$

• Das gibt uns eine Formel wie die Planck'sche Formel,
wenn $\epsilon = h\nu$.

Also, die Strahlung einer bestimmten Frequenz wird in
Quanta mit Energie $h\nu$ ausgestrahlt.

• Aber die elektromagnetische Strahlung wird in "Teilchen"
ausgestrahlt!!

Wir "fühlen" nicht die Licht als eine Sammlung von Teilchen,
weil die Energie der Quanta typischerweise sehr sehr klein ist.
Es gibt also viele viele Quanta (die Quanta im Licht heißen
Photonen) in der Strahlung einer Glühlampe.

Aber diese Idee von Planck hatte eine Revolution aufgezeigt.
Die Quantenrevolution!

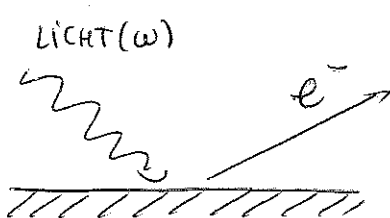
• Der photoelektrische Effekt

• Ganz am Anfang hatte die Leute echt Probleme gehabt, die
Idee Plancks zu akzeptieren.

Eine ganz wichtige Mitwirkung am Anfang der Quantenphysik
kam von (wen sonst?) Einstein, und zwar die Erklärung
der sogenannten photoelektrischen Effekt, die noch ein Beweis für
die Teilchennatur der Strahlung lieferte hat.

(6)

Der photoelektrische Effekt besteht darin, daß durch Licht Elektronen aus einer Metalloberfläche herausgelöst werden (Hertz, 1887)



- Nicht alle Frequenzen ω werden Elektronen aus der Oberfläche herauslösen.

Nur für ω größer als die kritische Frequenz, die Metallabhängig ist.

- Die Energie der ausgelösten Elektronen ist unabhängig von der Intensität der Strahlung, und hängt linear von der Frequenz ω ab.

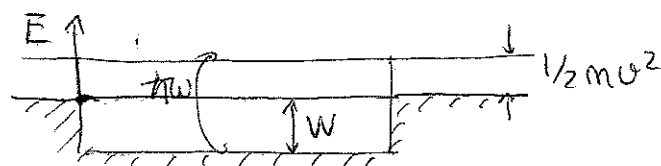
In Prinzip kann man die Existenz des photoel. Effekts innerhalb der klassischen Theorie des Elektromagnetismus verstehen. Die Elektronen (und damals nur wenige Elektronen schon bekannt) können durch die Lichtabsorption beschleunigt werden. Aber die Energie der elektromagnetischen Welle königt über die Energie der Quelle, und nicht von der Frequenz.

Außerdem die klassische Erklärung verlangt eine minimale Zeit zwischen dem Ankommen der Strahlung und die Auslösung des Elektrons (die Energie wird absorbiert in dieser Zeit). Diese Zeit sollte in Prinzip abhängig von der Intensität der Strahlung sein, aber so was wurde nicht beobachtet !!

(Und nun kommt die Erklärung von Einstein.
1905
Die Strahlung besteht aus Quanta (Photonen) von Energie E_{tw} .
Der Elektron absorbiert ein Photon. Ein Teil dieser Energie wird benutzt, um den Elektron aus der Oberfläche herauszulösen.
Die Energie (w) variiert von $^{\text{ein}}$ Metal zu anderer.)

Die Exzitierungsenergie geht in die kinetische Energie des Elektrons: (4)

$$\frac{1}{2}mv^2 = h\omega - W$$



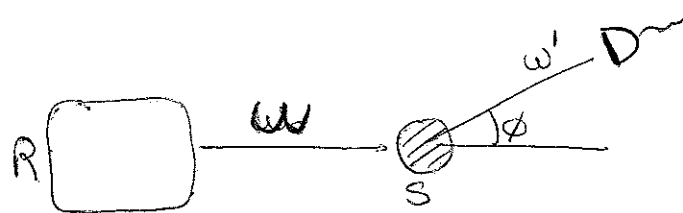
Das erklärt alles!

- $h\nu > W$ um Elektronen herauszulösen \rightarrow die Schwelle.
- Die kinetische Energie der herausgelösten Elektronen geht mit ω (lineär).

Dann war noch ein Beweis der Teilchenatur der Strahlung:
(Einstein, Nobelpreis 1921)

COMPTON-EFFEKT

Ein eindeutiger Beweis der Teilchenatur der Strahlung fehlte bis der Entdeckung des Compton-Effektes (Compton, 1922). Compton untersuchte die Streuung von Röntgenstrahlen in verschiedenen Elementen (Graphit), bei denen die Elektronen sehr locker gebunden, praktisch frei sind.



Dazu strahlte er paralleler Röntgenlicht aus einer Quelle (R) der Frequenz ω auf den Stoffkörper (S)

und untersuchte die Abhängigkeit von Streuwinkel die Intensität (I) und Frequenz (ω') des gestreuten Lichts.

Er fand, daß I und ω' abhängig von ϕ waren. Dies widersprach den klassischen Erwartungen (I und ω' unabhängig von ϕ).

* Compton erklärt dies mit der Idee um Photonen.

Zu Photon der Quelle mit Frequenz ω , also Impuls $\vec{p} = \hbar\omega/c$ ($p = \hbar k$, $k = \omega/c$) [Note: die Energie des **Photons** ist $E = pc$ (relativistisch)] stößt gegen ein Elektron (das vor dem Stoß null Impuls hat).

Nur betrachten den Stoß als elastisch, also Energie und Impuls müssen erhalten werden.

Sei \vec{p}' = Impuls des Photons nach dem Stoß.

\vec{P} = Impuls des Elektrons nach dem Stoß.

Also: Impulssatzung: $\vec{p} = \vec{p}' + \vec{P}$

Energiehaltung: $\hbar\omega + mc^2 = \hbar\omega' + \underbrace{[m^2c^4 + \vec{p}^2c^2]}_{\text{Photon}}^{1/2}$

Photon
(aus der Quelle) Ruhenergie
der Elektrons Photon
(nach dem Stoß) → Relativistische
Energie des
Elektrons.

Also $\vec{P} = \vec{p} - \vec{p}' \rightarrow P^2 = \vec{p}^2 + \vec{p}'^2 - 2\vec{p} \cdot \vec{p}'$

$$\cancel{m^2c^4} + \vec{p}'^2c^2 = [\hbar(\omega - \omega') + mc^2]^2 = \cancel{m^2c^4} + \hbar^2(\omega - \omega')^2 + 2\hbar mc^2(\omega - \omega')$$

Da $|\vec{p}| = \hbar\omega/c$; $|\vec{p}'| = \hbar\omega'/c$

$$P^2 = \left(\frac{\hbar\omega}{c}\right)^2 + \left(\frac{\hbar\omega'}{c}\right)^2 - 2\left(\frac{\hbar\omega}{c}\right)\left(\frac{\hbar\omega'}{c}\right) \cos\phi$$

$$\text{also } \vec{p}^2 c^2 = \hbar^2(\omega - \omega')^2 + 2\hbar^2\omega\omega'(1 - \cos\phi)$$

$$\text{aber auch } \vec{p}^2 c^2 = \hbar^2(\omega - \omega')^2 + 2\hbar mc^2(\omega - \omega')$$

$$\text{Also } \hbar\omega\omega'(1 - \cos\phi) = mc^2(\omega - \omega') \rightarrow \hbar(1 - \cos\phi) = mc^2\left(\frac{1}{\omega'} - \frac{1}{\omega}\right)$$

Da $\omega = 2\pi/\lambda \rightarrow (\lambda = \text{Wellenlänge})$

$$\lambda' - \lambda = \frac{2\pi\hbar}{mc}(1 - \cos\phi)$$

Compton-Wellenlänge.

Um das war genau die Abhängigkeit die er gefunden hat.

(Nobelpreis 1927 darwegen!)

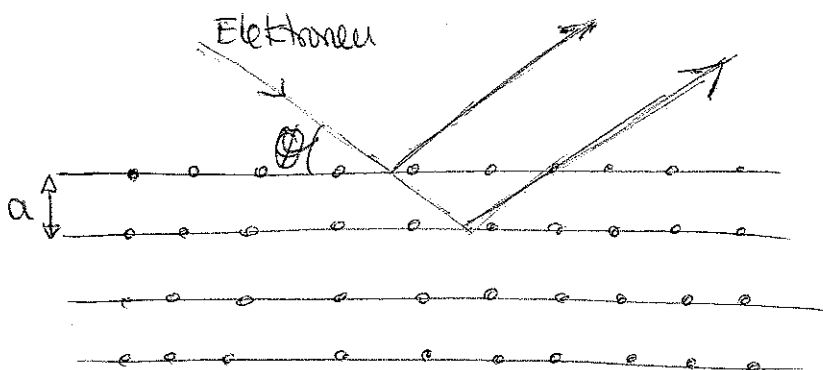
• MATERIENWELLEN

Wir haben schon gesiehen, daß die Struktur eine doppelte Natur als Teilchen und Welle) hat.

1923 schlugte De Broglie vor, daß ebenfalls die Materie eine Doppelstruktur hat, also die Materie muß ebenfalls (unter geeignete Bedingungen) sich als eine Welle verhalten.

Er schlugte vor, daß für ein Impuls P gibt es eine assoziierte Wellenlänge $\lambda = \frac{2\pi h}{P}$ \Rightarrow De Broglie-Wellenlänge.

1927 wurde diese Idee von Davisson und Germer experimentell beobachtet, und zwar in Experimenten von Streuung von Elektronen an einer Kristalloberfläche.



(mit einer Wellenlänge λ)

Man betrachtet die Elektronen als Wellen, dann gibt es eine Phasenverschiebung zwischen Wellen reflektiert an verschiedenen Ebenen: $\delta = \left(\frac{2\pi}{\lambda}\right) 2a \sin \theta$. Wenn diese Phasenverschiebung $n \cdot 2\pi$ ist, dann interferieren die Wellen konstruktiv.
Das passt für $\lambda = \frac{2a \sin \theta}{n}$

Also diese Wellenlängen werden verstärkt.

So wie wurde mit Elektronen 1927 von Davisson und Germer experimentell beobachtet.

Später gab es auch Neutron-Wellen-Experimente (Wollan, 1945) ^(c)
und später auch mit Atmen (80° und 90°) und sogar
Molekülen (2000°).

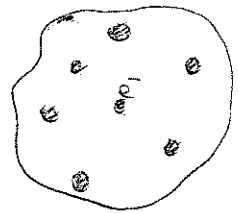
• Aber in einer makroskopischen Skala sind die Welleneffekte
unbeobachtbar. Z.B. ein Teilchen von 1 mg (10^{-6} kg) mit
einer Geschwindigkeit von 10 cm/s ($10^{-1} \frac{\text{m}}{\text{s}}$) ergibt einen
Impuls $p = mv = 10^{-7} \text{ kg m/s}$; also $\lambda = \frac{h}{p} = 6,6 \times 10^{-25} \text{ cm}$
Der Radius eines Protons ist etwa 10^{-14} cm . Also λ ist
natürlich unbeobachtbar.

Note: natürlich alles kommt, weil \hbar so klein ist).

• DAS ATOMMODELL VON BOHR

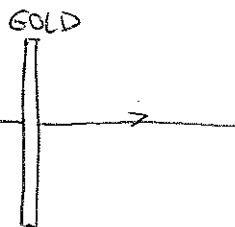
~~Atommodell mit Elektronen~~

• Am Ende des 19. Jahrhunderts hatte Thompson ein Atommodell
vorgeschlagen, bei dem die gesamte positive Ladung gleichmäßig
über das ganze Atom verteilt waren, während die Elektronen
im Atom wie Rosinen in einem Kuchen eingebettet waren.

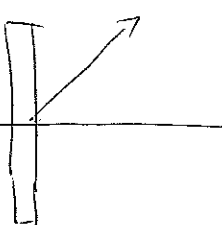


← Das Thomson-Modell des Atoms.

1910 widerlegte Ernst Rutherford dieses Atommodell (zusammen
mit Geiger und Marsden) mehr oder weniger durch zufall
nährend eine Messung der Streuung von α -Strahlen (α Teileien
sind eigentlich Heliumkerne) an extrem dünnten Metallfolien.



→ Normalerweise gingen die α -Teilchen einfach durch (ohne Streuung).

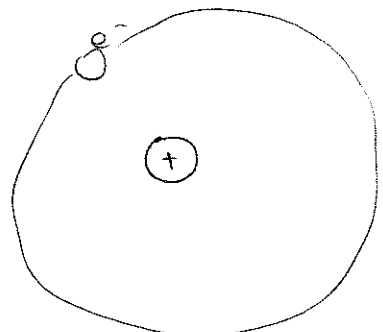


• Aber ab da zu gab es α -Teilchen, die unter großen Winkeln gestreut wurden.
(Maudsley sogar rückwärts!)

• Nerdson (damals ganz jung, 20!) kam zu dem Schluß, daß nur einer von 10^8 Teilchen einer Weitwinkelstreuung unterliegt.

Wieso? Welches α -Teilchen reflektiert wird, unterliegt dem Zufall. Es geschieht jedoch aufgrund einer Kollision mit einem sehr dichten, positiv geladenen Teilchen. Da nur ~~ein~~ aus 10^8 α -Teilchen dieser Kollision unterliegt, muß der Großteil eines Atoms dieser Teilchen dieser Kollision unterliegt, muß der Großteil eines Atoms leerer Raum sein!! Der größte Teil der Masse um einen Atom herum ist in einem sehr kleinen positiv geladenen Kern konzentriert \Rightarrow dem Nukleus.

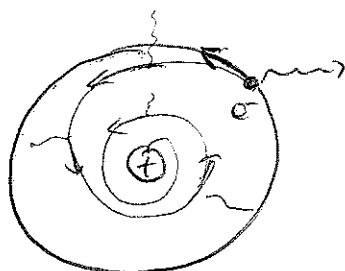
Der Nukleus ist ungefähr 10^{-8} kleiner als der Atom. Er hätte ein Atom die Größe der Erde, so müßte sein Nukleus so groß wie eine Kugel mit einem Radius von 6 m. Fast unglaublich, oder?



← das Rutherford-Modell
des Atoms

Die Elektronen sind durch die Coulombs-Kraft um Nukleus angezogen, und laufen in Bahnen herum (wie Planeten um eine Sonne)

- * Aber dies Modell hatte (klassisch betrachtet) Probleme. Nach der klassischen Elektrodynamik müsste ein Elektron, das um den Atomkern kreist und somit eine Zentripetalbeschleunigung erfüllt, als ~~beschleunigte~~ Ladung kontinuierlich elektromagnetische Wellen aussenden, und daher wegen des Energieverlustes nach kurzer Zeit in den Kern stürzen.



- * Die Erklärung von Bohr (1913) war folgender. Das Elektron kann jedoch nicht nur als Teilchen ~~aus~~ aufgefasst werden, sondern auch als Materiewelle (De-Broglie-Welle). Damit sich diese Materiewelle nicht auflöst, muss der Umfang der Elektronenbahn ein ganzzahliges Vielfaches der Wellenlänge sein:

$$2\pi r = n\lambda = n \frac{2\pi \hbar}{P} \rightarrow P r = n \hbar = \text{Drehimpuls}$$

\Rightarrow Also der Drehimpuls muss ein ganzzahliges Vielfaches der Plank-Konstante \hbar .

- * Diese Bahnen sind stabil, also die Strukturen nicht.
- * Die Bahnen der Elektronenbahnen ändert sich nicht kontinuierlich (wie die klassische Physik sagte), sondern sprunghaft. Die Energie ändert sich also auch sprunghaft wenn ein Elektron springt $E_{n_1} \rightarrow E_{n_2}$. Wenn $E_{n_1} > E_{n_2}$ ist, dann ergibt dieser Sprung ein Photon mit Frequenz

$$\omega = (E_{n_1} - E_{n_2}) / \hbar$$

Das erklärte auch die Spektroskopie-Linien, die man im 19. Jahrhundert beobachtet hatte, und man klassisch nicht erklären konnte. (13)

Also Wellen zeigen Teilchen-Effekte, und umgekehrt Teilchen zeigen Wellen-Effekte. Und eine ganz neue Physik wird verlaufen → die Quantenphysik.

* CRASH-KURS "FOURIER TRANSFORMATION"

* Man definiert die Fourier-Transformation $F(k)$ von $f(x)$

Ist:
$$F(k) = \frac{1}{\sqrt{2\pi}} \int_{-\infty}^{\infty} f(x) e^{ikx} dx$$

Eigentlich manchmal wird ohne $\frac{1}{\sqrt{2\pi}}$ definiert; es ist eigentlich nicht so wichtig, aber man muss sich konsequent an der Definition halten

Und

$$f(x) = \frac{1}{\sqrt{2\pi}} \int_{-\infty}^{\infty} F(k) e^{-ikx} dk \quad \leftarrow \text{Inverse Fourier Transformation.}$$

Beispiel (wichtig!)

$$\delta(x-x_0) = \frac{1}{\sqrt{2\pi}} \int_{-\infty}^{\infty} e^{i\cancel{k}(x-x_0)} dk$$

Also wie ist die Fourier-Transform von $f(x) = \cos qx$?

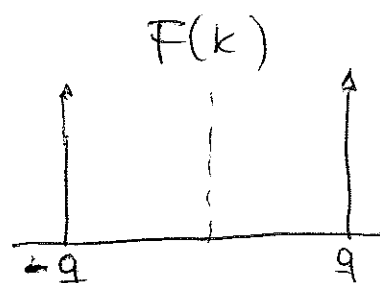
$$\begin{aligned} F(k) &= \frac{1}{\sqrt{2\pi}} \int_{-\infty}^{\infty} \cos qx e^{ikx} dx = \frac{1}{\sqrt{2\pi}} \left\{ \frac{1}{2} [e^{iqx} + e^{-iqx}] \right\} e^{ikx} dx \\ &= \frac{1}{\sqrt{2\pi}} \left\{ \frac{\pi i}{2} \int_{-\infty}^{\infty} e^{i(x(k+q))} dx + \frac{\pi i}{2} \int_{-\infty}^{\infty} e^{i(x(k-q))} dx \right\} \\ &= \frac{1}{\sqrt{2\pi}} \left\{ \pi [\delta(k+q) + \delta(k-q)] \right\} = \sqrt{\frac{\pi}{2}} [\delta(k+q) + \delta(k-q)] \end{aligned}$$

Also

$f(x)$



FOURIER-
TRANSF.



WELLENPÄKETEN UND DIE UNSCHÄRFERELATIONEN

Wir haben gesehen, daß die Natur eine Dualität Teilchen-Welle zeigt.

Es ist schwer zu denken, wie man mit Teilchen Wellen simulieren könnte. Aber umgekehrt ist es einfacher, wir können mit Wellen etwa "Teilchen" simulieren. Das bringt uns zur Idee von Wellenpaketen.

Ein Wellenpaket ist eine Superposition von Wellen verschiedener Frequenzen, in solcher Weise, daß die Wellen interferieren mit einander fast vollständig destruktiv außerhalb eines bestimmten üblichen Bereichs.

Seien wir ein Beispiel. Nehmen wir die Funktion:

$$\Psi(x) = \int_{-\infty}^{\infty} dk g(k) e^{ikx} \quad (\text{Fourier-Transform})$$

wobei $g(k) = e^{-\alpha(k-k_0)^2}$ \Leftrightarrow Also $g(k)$ ist eine gaussische Funktion \Leftrightarrow Funktion im Impulsraum

Also $\Psi(x)$ ist die Fourier-Transform eine gaussische Funktion:

$$\Psi(x) = \sqrt{\frac{\pi}{\alpha}} e^{ik_0 x} e^{-x^2/4\alpha}$$

Also $|\Psi(x)|^2 = \frac{\pi}{\alpha} e^{-x^2/2\alpha}$

$$\Leftrightarrow |g(k)|^2 = e^{-2\alpha(k-k_0)^2}$$

Also: $|\Psi(x)|^2 \rightarrow$ Funktion lokalisiert um $x=0$
(Ortsraum) mit Breite $2\sqrt{2\alpha}$

$|g(k)|^2 \rightarrow$ Funktion lokalisiert um $k=k_0$
(Impulsraum) mit Breite $\frac{2}{\sqrt{2\alpha}}$

* Und nur ganz genau aufpassen.

* Die X -Breite $\Delta x^{(\Delta x)}$ geht ~~invers~~ wie die K -Breite $\Delta k^{(\Delta K)}$.

Also ein Wellenpaket sehr lokalisiert in x wird sehr delokalisiert in k , und umgekehrt.

* $\Delta k \cdot \Delta x \sim 4 \sim \Theta(1)$ (Konstant)

Also ~~es~~ ist prinzipiell unmöglich beide Δx und Δk klein zu machen. Das ist eine allgemeine Eigenschaft der Fourier-Transformation die weitgehende Folgen in der Quantenphysik hat! Das bringt uns direkt an die Heisenberg Unschärferelationen (mehr später).

Aber zuerst werden wir untersuchen wie ein Wellenpaket soll in der Zeit entwickelt. Diese Untersuchung wird aus zu die Schrödingers-Gleichung bringen (eine der wichtigsten Gleichungen der Quantenphysik!).

Wir müssen zuerst überlegen, wie die individuelle Eben ^{sich} Wellen ψ propagieren.

$$e^{ikx} \longrightarrow e^{iKx - i\omega t} = e^{i2\pi \left[\frac{x}{\lambda} - \frac{\omega}{2\pi} t \right]}$$

Für Photonen (in Vakuum) kennen wir schon, daß $E = \hbar\omega = pc = \hbar k c$

$$\text{also } \omega = kc = 2\pi \frac{c}{\lambda}$$

$$\text{Also } e^{ikx} \longrightarrow e^{iK(x-ct)}$$

$$\text{und } \Psi(x) \longrightarrow \Psi(x,+) = \int_{-\infty}^{\infty} dK g(K) e^{iK(x-ct)} = f(x-ct)$$

Also die Form ändert sich nicht in der Zeit. Also ein Wellenpaket mit Lichtpropagation ohne Verzerrung mit Lichtgeschwindigkeit.

* Also:

* Das Paket bewegt sich mit Geschwindigkeit v_g

* Die Breite $\alpha \rightarrow \alpha + \beta^{2/3}/\alpha$

Das Wellenpaket ~~breite~~ ^{breite} sich aus \rightarrow Quanten Dispersion

Wenn das Wellenpaket ein Teilchen repräsentieren muß,

dann muß $v_g = P/m$

$$E = P^2/2m$$

$$\left. \begin{array}{l} \\ \end{array} \right\} \text{also } \omega = \frac{P^2}{2m\hbar}$$

aber $E = \hbar\omega$ (Planck'sches Gesetz)

Da $v_g = \frac{d\omega}{dk} \rightarrow P$ muss $\propto k$ sein.

Da $v_g = \frac{d\omega}{dk} \rightarrow P$ muss $\propto k$ sein. $\rightarrow k = \frac{2\pi}{\lambda} = \frac{P}{\hbar} \rightarrow \lambda = 2\pi\hbar/P$

[das ist noch mal de Broglie's Idee $\rightarrow k = \frac{P}{\hbar} \rightarrow \lambda = 2\pi\hbar/P$]

$$\text{Also } \Psi(x, t) = \frac{1}{\sqrt{2\pi\hbar}} \int dp \phi(p) e^{i(px - Et)/\hbar}$$

$$g(k) \rightarrow \phi(p)$$

und:

$$\begin{aligned} i\hbar \frac{\partial \Psi(x, t)}{\partial t} &= \frac{1}{\sqrt{2\pi\hbar}} \int dp \phi(p) E e^{i(px - Et)/\hbar} \\ &= \frac{1}{\sqrt{2\pi\hbar}} \int dp \phi(p) \frac{P^2}{2m} e^{i(px - Et)/\hbar} \\ &= \frac{1}{\sqrt{2\pi\hbar}} \int dp \phi(p) \left(-\frac{\hbar^2}{2m} \frac{\partial^2}{\partial x^2} \right) e^{i(px - Et)/\hbar} \\ &= -\frac{\hbar^2}{2m} \frac{\partial^2}{\partial x^2} \Psi(x, t) \end{aligned}$$

$$\text{Also } i\hbar \frac{\partial \Psi}{\partial t} = -\frac{\hbar^2}{2m} \frac{\partial^2}{\partial x^2} \Psi$$

\rightarrow Das ist die Schrödinger-Gleichung für Teilchen ohne externer Potentiale.

Mehr (viel mehr) über die Schrödinger-Gleichung später...

Aber für Teilchen mit Masse $\omega(k) \neq kc$. Wir haben

d.h.: $\Psi(x,+) = \int dk g(k) e^{ikx - i\omega(k)t}$

Um die Rechnungen einfacher zu machen, nehmen wir $g(k)$ sehr lokalisiert um $k=k_0$.

In der Nähe von $k=k_0$ können wir $\omega(k)$ Taylor-Entwickeln:

$$\omega(k) \approx \omega(k_0) + (k-k_0) \left(\frac{d\omega}{dk} \right)_{k_0} + \frac{1}{2} (k-k_0)^2 \left(\frac{d^2\omega}{dk^2} \right)_{k_0} + \dots$$

Dann:

$$\begin{aligned} \Psi(x,+) &\approx \int dk g(k) e^{ikx} e^{-i\omega(k_0)t} e^{-i(k-k_0)\left(\frac{d\omega}{dk}\right)_{k_0}t} e^{-\frac{i}{2}(k-k_0)^2\left(\frac{d^2\omega}{dk^2}\right)_{k_0}t} + \\ &\stackrel{k=k-k_0}{=} e^{ik_0x} e^{-i\omega(k_0)t} \int dk' e^{-ik'^2} e^{-i\frac{\alpha}{2}\left(\frac{d^2\omega}{dk^2}\right)_{k_0}t} e^{i\frac{\alpha}{2}[x - \left(\frac{d\omega}{dk}\right)_{k_0}t]} \end{aligned}$$

Sei $v_g = \left(\frac{d\omega}{dk} \right)_{k_0}$ ← Gruppengeschwindigkeit des Wellenpaket

Sei $\beta = \frac{1}{2} \left(\frac{d^2\omega}{dk^2} \right)_{k_0}$

Aber:

$$\Psi(x,+) = e^{i[k_0x - \omega(k_0)t]} \int dk' e^{ik'(x - v_g t)} e^{-(\alpha + i\beta t)t'^2}$$

Man sieht ganz klar, daß $f(x,+) \neq f(x)$,

aber nur $x \rightarrow x - v_g t$

$$\alpha \rightarrow \alpha + i\beta t$$

$$\Psi(x,+) = e^{i(k_0x - \omega(k_0)t)} \left(\frac{\pi}{\alpha + i\beta t} \right)^{1/2} e^{-\frac{(x - v_g t)^2}{4(\alpha + i\beta t)}}$$

$$|\Psi(x,+)|^2 = \left(\frac{\pi^2}{\alpha^2 + \beta^2 t^2} \right)^{1/2} e^{-\frac{\alpha}{2(\alpha^2 + \beta^2 t^2)} (x - v_g t)^2}$$

DIE UNSCHÄRFERELATIONEN UND IHREN FOLGEN

Wir haben vorher etwas sehr wichtiges gesehen:

$$\Delta K \cdot \Delta x \gtrsim 1$$

$$\text{da } tK = p \rightarrow [\Delta p \Delta x \gtrsim t]$$

Wenn wir stark in x lokalisieren, dann wir den Impuls sehr unbestimmt, und umgekehrt. Wir können nicht beide mit großer Genauigkeit bestimmen, in klarer Widerspruch mit der klassischen Physik

Note: Natürlich, da t so klein ist, ist die klassische Physik typischerweise o. K. in der makroskopischen Welt).

Die Unschärferelationen tauchen überall in der Quantenwelt, und haben viele Folgen. Sehen wir ein paar Beispiele (Gedankenexperimente)

i) Das Heisenberg-Mikroskop

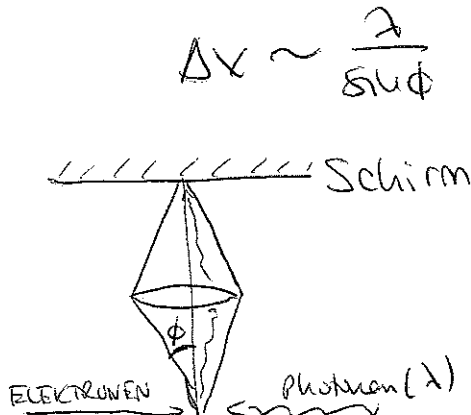
Wir wollen die Position eines Elektrons bestimmen. Seien wir, daß die Elektronen in einem Strahl mit Impuls p_x sind. Wir senden Elektronen entlang ($-x$)-Richtung. Es gibt eine Streuung zwischen einem Elektron und einem Photon. Der gestreute Photon geht durch ein Mikroskop bis an den ~~Bildschirm~~ Bildschirm, wo detektiert wird.

Das Auflösungsvermögen des Mikroskops (Optik) sei λ wie

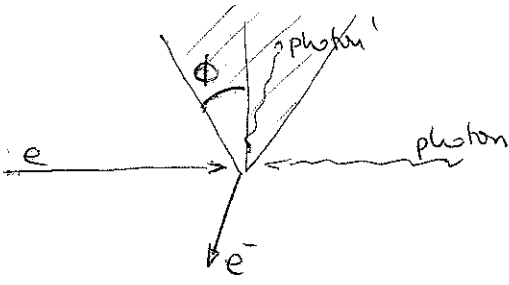
(λ = Wellenlänge des Photons)

- * je kleiner λ (und größer Δx) desto besseres Auflösungsvermögen.

* ~~Nach nach der Streuung geht die Richtung des Photons~~



Der detektierte Photon konnte nach der Streuung eine Richtung
genommen haben, die innerhalb des Winkels ϕ ist.



- Der Rückstoß ist also nicht genau bestimmt, und deswegen
- $$\Delta p_x \sim 2 \frac{h\nu}{c} \sin \frac{\pi}{\sin \phi}$$
- (Ich erinnere
euch den
Compton-Effekt)

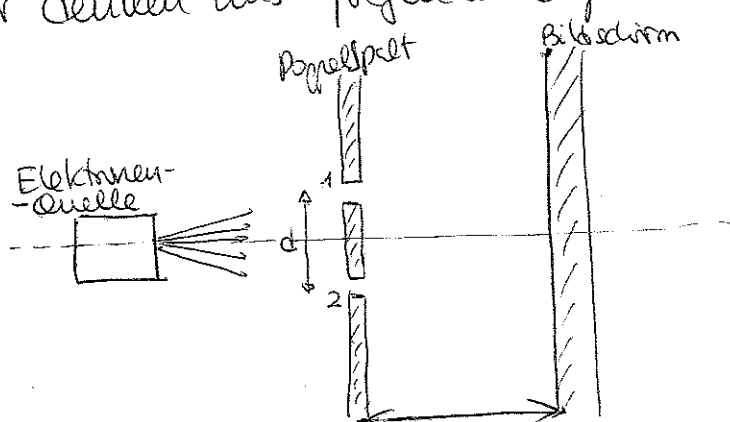
$$\text{Also } \Delta x \Delta p_x \sim 2 \frac{h\nu}{c} \sin \frac{\pi}{\sin \phi} \sim 4 \text{ nm}$$

Also Position und Impuls können nicht gleichzeitig bestimmt werden.

> Doppelspalterperiment

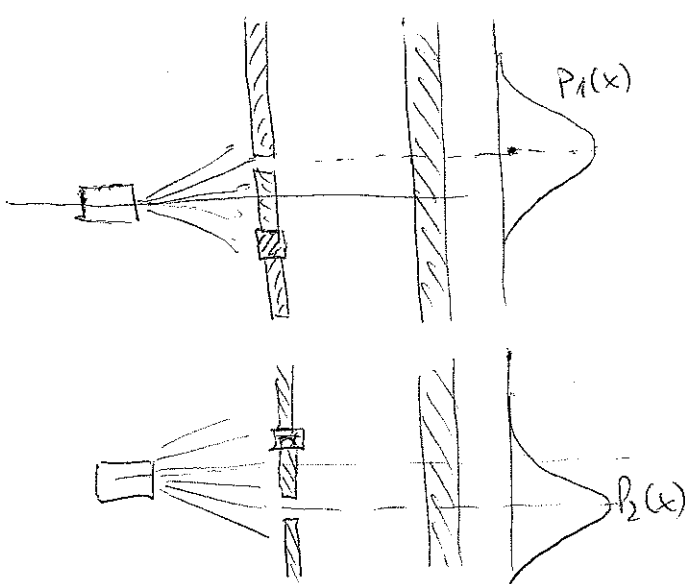
Vielleicht eine der wichtigsten Gedankenexperimente (und auch erste Experimente) der Quantenphysik ist das sogen. Doppelspalterperiment.

Wir deuten uns folgende experimentelle Anordnung:



- * Wir schließen Elektronen durch einen Doppelspalt an dem Bildschirm, wo die detektiert werden.

: Was passiert zuerst wenn wir (2) blockieren?

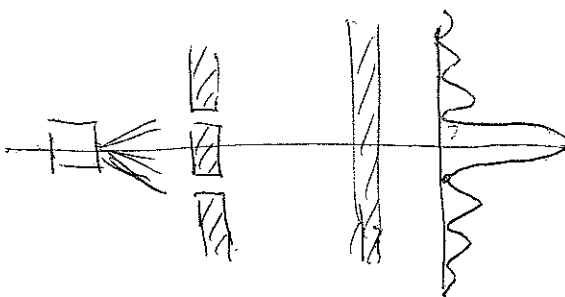


- * Erwartungsgemäß findet man Streuung um die mittlere Richtung (direkt gegenüber des Spaltes)
Das ist klassisch verständbar.

- * Ähnlich wenn wir (1) blockieren?
(Verteilung $P_2(x)$)

Was passiert wenn beide Löcher geöffnet bleiben?

Klassisch sollte man $P_1(x) + P_2(x)$, aber was man eigentlich meint, ist ein Interferenzmuster!



- Eine Deutung ist klassisch unmöglich
- Man erhält Interferenzbilder wie in der Optik.

Verringert man den Strom einfallender Elektronen, kann man Elektronen für Elektronen einzeln verfolgen. Trotzdem bauen die detektierten Teilchen ein Interferenzbild auf!

Sagen wir, daß für jedes registrierte Teilchen könnten wir sagen, durch welche Öffnung es gekommen ist. Man registriert deswegen 2 Gruppen von Ereignissen:

$P_1'(x)$ durch Öffnung 1

$P_2'(x)$ durch Öffnung 2.

→ Welcheweg - Information

Dabei sind $P_1'(x)$ und $P_2'(x)$ die mit bloßem Auge nicht sichtbaren Öffnungen. Aber man verletzt hier das Interferenzmuster! Man bekommt einfach $P_1'(x) + P_2'(x)$. Die Beobachtung des Versuchsaufbaus stellt demnach einen Eingriff in das physikalische System dar und beeinflußt das Versuchsergebnis.

Diese Welcher-Weg-Ergebnisse können mit Hilfe der Wuschörerlektionen verstanden werden.

Wir kennen schon, daß für ein Impuls p haben wir eine Wellenlänge $\lambda = 2\pi t/p$ (de Broglie)

- (2)
- Aus der Optik kennt man, daß wenn ~~eine Welle~~ einer Wellenlänge λ nach die 2 Öffnungen geht, knegt man ein Interferenzmuster auf dem Bildschirm. Die Maxima des Musters lassen ein Abstand zwischen ihnen von $\frac{\lambda}{d}$ (siehe erste Abbildung).

Sagen wir nun, daß wir bestimmen durch welche Öffnung der Elektron durchgegangen ist. Also $\Delta y < \frac{\lambda}{2}$ für die Ungenauigkeit der Stelle des Elektrons.

- Wenn wir so was machen, dann bekommt der Elektron eine Ungenauigkeit $\Delta p_y > 2t_i/d$ (Anschrärfrelation)

$$\text{Also } \frac{\Delta p_y}{p} > \frac{2 t_i/d}{p} = 2 \frac{\lambda}{d}$$

Diese Ungenauigkeit bestimmt eine Ungenauigkeit in der Position des Elektrons auf dem Bildschirm $\sim 2 \lambda \frac{L}{d}$ (mindestens)
Also den Interferenzmuster wird damit zerstört!

c) ENERGIE-ZEIT UNSCHÄRFERELATION

- Wir wissen schon, daß

$$\Delta x \Delta p \geq t_i$$

$$\text{Also } \left(\frac{p \Delta p}{m} \right) \cdot \left(\frac{m \Delta x}{p} \right) \geq t_i \quad \left. \begin{array}{c} \\ \end{array} \right\} \boxed{\Delta E \cdot \Delta t \geq t_i}$$

\uparrow \uparrow
Energie Zeit

Das ist auch klar, weil Zeit und Frequenz (also Energie) sind durch eine Fouriersumformel verknüpft.

• DIE SCHRÖDINGER-GLEICHUNG

Aus unserer Diskussion über die Wellenpakete haben wir gesehen, daß die Funktion $\psi(x, t)$ des Wellenpakets erfüllt:

$$i\hbar \frac{\partial}{\partial t} \psi(x, t) = -\frac{\hbar^2}{2m} \frac{\partial^2}{\partial x^2} \psi(x, t)$$

Diese Gleichung beschreibt ein Teilchen im freien Raum (ohne externe Potentiale).

Diese Gleichung ist 1. Ordnung in t . Also wenn wir $\psi(x, t=0)$ kennen, dann können wir $\psi(x, t)$ für alle andere t .

Die Funktion $\psi(x, t)$ ist stetig, und außerdem

$\psi(x, t)$ ist komplex \Leftarrow das ist aber sehr wichtig!

- (1) $\psi(x, t)$ ist groß, wo das Teilchen am wahrscheinlichsten ist
- (2) $|\psi(x, t)|$ ist groß, wo das Teilchen am wahrscheinlichsten ist
(Zentrum des Wellenpakets)

~~Wahrscheinlichkeit~~

Wegen (2) können wir

$$P(x, t) dx = |\psi(x, t)|^2 dx$$

herstellen, als die Wahrscheinlichkeit das Teilchen zwischen x und $x+dx$ zu finden.

Das ist die sogen. statistische Interpretation der Wellenfunktion (Max Born).

Diese Wahrscheinlichkeit ist reell, und ist groß wo das Teilchen wahrscheinlich sein soll.

Außerdem, $P(x, t)$ muß normalisiert werden:

$$\int_{-\infty}^{\infty} P(x, t) dx = 1 \implies \text{Das heißt einfach, daß das Teilchen muß irgendwo sein!}$$

$|\psi(x, t)|^2$ ist die physikalisch bedeutsame Größe, aber das heißt überhaupt nicht, daß die Tatsache, daß $\psi(x, t)$ komplex ist, nicht wichtig ist.

$\psi(x, t) \Rightarrow$ ist Komplex.

Also $\psi(x, t) = |\psi(x, t)| e^{i\phi(x, t)}$ (Polarbeschreibung der komplexen Zahlen)

↑
Amplitude ↑
Phase

Die Phase ist aber sehr wichtig. Sehen wir nun warum.

Nehmen wir 2 Lösungen $\psi_1(x, t)$ und $\psi_2(x, t)$ von

der Gleichung $i\hbar \frac{\partial}{\partial t} \psi(x, t) = -\frac{\hbar^2}{2m} \frac{\partial^2}{\partial x^2} \psi(x, t)$

(mehr über lineare Operatoren später)

Diese Gleichung ist linear, also alle Linearkombinationen

$$\psi(x, t) = \alpha_1 \psi_1(x, t) + \alpha_2 \psi_2(x, t)$$

ist auch eine Lösung der Gleichung. Nehmen wir $\alpha_{1,2}$ als reell.

Dann

$$\begin{aligned} |\psi(x, t)|^2 &= |\alpha_1 \psi_1(x, t) + \alpha_2 \psi_2(x, t)|^2 \\ &= (\alpha_1 \psi_1^* + \alpha_2 \psi_2^*) (\alpha_1 \psi_1 + \alpha_2 \psi_2) \\ &= \alpha_1^2 |\psi_1|^2 + \alpha_2^2 |\psi_2|^2 + \alpha_1 \alpha_2 (\psi_1^* \psi_2 + \psi_1 \psi_2^*) \\ &= \alpha_1^2 |\psi_1|^2 + \alpha_2^2 |\psi_2|^2 + \alpha_1 \alpha_2 |\psi_1| |\psi_2| (e^{i(\phi_2 - \phi_1)} + e^{-i(\phi_2 - \phi_1)}) \\ &= \alpha_1^2 |\psi_1|^2 + \alpha_2^2 |\psi_2|^2 + 2 \alpha_1 \alpha_2 |\psi_1| |\psi_2| \cos(\phi_2 - \phi_1) \end{aligned}$$

$\psi_i^* \Rightarrow$ komplex konjugiert

Also die Phasen sind ganz wichtig. Eigentlich die erklären klassisch unverstehbare Effekte, wie die Interferenz-Experimenten (Doppelspaltexperiment).

Viele der "Klassischen" Effekte der Quantumelektronik haben der Ursprung in der Idee der Phase!

• Also, wir haben gesehen, daß ein Teilchen in freiem Raum ist die Schrödinger-Gleichung:

$$i\hbar \frac{\partial}{\partial t} \psi(x, t) = -\frac{\hbar^2}{2m} \frac{\partial^2}{\partial x^2} \psi(x, t)$$

Wenn es ein externes Potential gibt, dann wird die Gleichung

$$i\hbar \frac{\partial}{\partial t} \psi(x, t) = -\frac{\hbar^2}{2m} \frac{\partial^2}{\partial x^2} \psi(x, t) + V(x) \psi(x, t)$$

In Allgemeinem, in 3 Dimensionen:

$$i\hbar \frac{\partial}{\partial t} \psi(\vec{r}, t) = -\frac{\hbar^2}{2m} \nabla^2 \psi(\vec{r}, t) + V(\vec{r}) \psi(\vec{r}, t)$$

Wenn wir $\psi(\vec{r}, t)$ kennen, dann kennen wir die Wahrscheinlichkeitsdichte $|\psi(\vec{r}, t)|^2$, und damit den Erwartungswert für alle Funktion $f(x)$:

$$\langle f(x) \rangle = \int dx f(x) |\psi(x, t)|^2 = \int dx \psi^*(x, t) f(x) \psi(x, t)$$

Die Idee der Erwartungswert ist sehr wichtig, da sind diese Erwartungswerte, was wir höchstwahrscheinlich im Experiment beobachten werden.

Die Idee der Erwartungswert erlaubt uns auch die Idee des Impulsoperator einzuführen.

$$\text{klassisch } P = m v = m \frac{dx}{dt}$$

also ist es natürlich zu definieren (quantummechanisch)

$$\langle p \rangle = m \frac{d}{dt} \langle x \rangle = m \frac{d}{dt} \int dx \psi^*(x, t) x \psi(x, t)$$

$$= m \int dx \left(\frac{d\psi^*}{dt}(x, t) x \psi(x, t) + \psi^*(x, t) x \frac{d\psi}{dt}(x, t) \right)$$

Note: Die einzige "Kluge" die in Zeit sich ändert ist $\psi(x, t)$, und diese Änderung bringt die Änderung von $\langle x \rangle$, und damit kommt zu $\langle p \rangle$.

$$\text{Da (für } V(x) = 0\text{): } i\hbar \frac{\partial}{\partial t} \psi(x, t) = -\frac{\hbar^2}{2m} \frac{\partial^2}{\partial x^2} \psi(x, t)$$

$$\text{und (Komplex-Konjugat): } -i\hbar \frac{\partial}{\partial t} \psi^* = -\frac{\hbar^2}{2m} \frac{\partial^2}{\partial x^2} \psi^*$$

Kann:

$$\langle p \rangle = \frac{\hbar}{2i} \int_{-\infty}^{\infty} dx \left[\frac{\partial^2 \psi^*}{\partial x^2} \times \psi - \psi^* \times \frac{\partial^2 \psi}{\partial x^2} \right]$$

Nun:

$$\begin{aligned} \frac{\partial^2 \psi^*}{\partial x^2} \times \psi &= \frac{\partial}{\partial x} \left(\frac{\partial \psi^*}{\partial x} \times \psi \right) - \frac{\partial \psi^*}{\partial x} \times \psi - \frac{\partial \psi^*}{\partial x} \times \frac{\partial \psi}{\partial x} \\ &= \frac{\partial}{\partial x} \left(\frac{\partial \psi}{\partial x} \times \psi \right) - \frac{\partial}{\partial x} (\psi^* \psi) + \psi^* \frac{\partial \psi}{\partial x} \\ &= -\frac{\partial}{\partial x} \left(\psi^* \times \frac{\partial \psi}{\partial x} \right) + \psi^* \frac{\partial \psi}{\partial x} + \psi^* \times \frac{\partial^2 \psi}{\partial x^2} \end{aligned}$$

Also

$$\frac{\partial^2 \psi^*}{\partial x^2} \times \psi - \psi^* \times \frac{\partial^2 \psi}{\partial x^2} = \frac{\partial}{\partial x} \left[\frac{\partial \psi^*}{\partial x} \times \psi - \psi^* \times \frac{\partial \psi}{\partial x} - \psi^* \psi \right] + 2\psi^* \frac{\partial \psi}{\partial x}$$

Hence

$$\langle p \rangle = \frac{\hbar}{2i} \int_{-\infty}^{\infty} dx \frac{\partial}{\partial x} \left[\frac{\partial \psi^*}{\partial x} \times \psi - \psi^* \times \frac{\partial \psi}{\partial x} - \psi^* \psi \right] \xrightarrow{\text{die Funktion } \psi(x \rightarrow \infty) \rightarrow 0}$$

$$+ \frac{\hbar}{i} \int_{-\infty}^{\infty} dx \psi^* \frac{\partial \psi}{\partial x} =$$

~~$$= \int_{-\infty}^{\infty} dx \psi^* \left(-i\hbar \frac{\partial}{\partial x} \right) \psi$$~~

$$\text{Also } \langle p \rangle = \int_{-\infty}^{\infty} dx \psi(x, t)^* \left[-i\hbar \frac{\partial}{\partial x} \right] \psi(x, t)$$

Das zeigt uns etwas wichtiger. Wir können ein Operator

$$\hat{P} = -i\hbar \frac{\partial}{\partial x}$$

schreiben ("~" bedeutet Operator, mehr über Operatoren gleich).

Und ganz klar: $\langle p \rangle = \langle \hat{P} \rangle$.

Also, nun kennen wir schon die Darstellung des Impulsoperators in Ortsdarstellung (also \hat{p} als Funktion von x , oder besser gesagt, als Funktion von ∂_x).

Wir können auch in Impulsdarstellung arbeiten. Seien wir das.

Wir haben schon gesehen daß

$$\psi(x) = \frac{1}{\sqrt{2\pi\hbar}} \int dp \phi(p) e^{ipx/\hbar}$$

Wir können die Fourier-Transform innehmen

$$\phi(p) = \frac{1}{\sqrt{2\pi\hbar}} \int dx \psi(x) e^{-ipx/\hbar}$$

Man kann ganz einfach prüfen, daß:

$$\int dp |\phi(p)|^2 = \int dx |\psi(x)|^2 = 1 \quad (\text{Parseval's Theorem})$$

Also wenn $\psi(x)$ normalisiert ist, so ist auch $\phi(p)$.

Außerdem:

$$\begin{aligned} \langle p \rangle &= \int dx \psi^*(x) \left(-i\hbar \frac{\partial}{\partial x} \right) \psi(x) = \\ &= \int dx \psi^*(x) [-i\hbar] \frac{\partial}{\partial x} \int \frac{dp}{\sqrt{2\pi\hbar}} \phi(p) e^{ipx/\hbar} \\ &= \int dp \phi(p) P \frac{1}{\sqrt{2\pi\hbar}} \int dx \psi^*(x) e^{ipx/\hbar} = \int dp \phi(p) p \phi(p)^* \\ &= \int dp p |\phi(p)|^2 \end{aligned}$$

• Das sagt uns das:

- $\phi(p) \Rightarrow$ ist die Welleupunktion in Impulsdarstellung
- $|\phi(p)|^2 \Rightarrow$ gibt die Wahrscheinlichkeitsdichte um ein Teilchen mit Impuls p zu finden.

• Aus der Definition kann man ganz einfach beweisen, dass

$$\langle x \rangle = \int dp \phi^*(p,+) \left[i\hbar \frac{\partial}{\partial p} \right] \phi(p,+)$$

und also: $\boxed{\hat{x} = i\hbar \frac{\partial}{\partial p}}$ Ortsoperator in Impulsdarstellung

• Also \hat{p} ist kein Nummer in Ortsdarstellung

(~~oder \hat{x} in Impulsdarstellung~~) sondern ein Operator.

Eigentlich Operatoren spielen eine sehr sehr wichtige Rolle in der Quantenmechanik.

In Gegensatz zu normalen Zahlen ist der Produkt von Operatoren (in allgemein) nicht kommutativ. Also, gegeben 2 Operatoren \hat{A} und \hat{B} , $\hat{A}\hat{B} \neq \hat{B}\hat{A}$.

Wir können den Kommutator 2 Operatoren so definieren

$$[\hat{A}, \hat{B}] = \hat{A}\hat{B} - \hat{B}\hat{A}$$

Kommutatoren spielen eine entscheidende Rolle in der Quantenmechanik (wir werden die mehrmals treffen!)

• Zum Beispiel:

$$\text{Sei } \hat{A} = \hat{x}$$

$$\hat{B} = \hat{p} = i\hbar \frac{\partial}{\partial x}$$

$$\hat{A}\hat{B}\psi(x,+) = x \left(it \frac{\partial}{\partial x} \right) \psi(x,+) = -itx \times \frac{\partial}{\partial x} \psi$$

$$\hat{B}\hat{A}\psi(x,+) = -it \frac{\partial}{\partial x} [x \psi] = \cancel{x^2} - itx \psi + itx \times \frac{\partial}{\partial x} \psi$$

Also $[x, \hat{p}] \psi = itx \psi \rightarrow \boxed{[x, \hat{p}] = it}$

Wir werden später sehen, daß diese Nicht-Kommutativität unter den Heisenbergsschen Unschärferelationen steht.

Wir haben also gesehen, daß

$$\hat{p} = -it \frac{\partial}{\partial x}$$

Also $\hat{p}^2 \psi = -t^2 \frac{\partial^2}{\partial x^2} \psi$

Damit wird die Schrödinger-Gleichung:

$$it \frac{\partial}{\partial t} \psi = \underbrace{\left[\frac{\hat{p}^2}{2m} + v(x) \right]}_{\text{Hamilton-Operator}} \psi(x,+)$$

→ Dieser Operator heißt Hamilton-Operator (oder Energie-Operator)

$$\boxed{\hat{H} = \frac{\hat{p}^2}{2m} + v(x)}$$

weil A ist die ~~klassische~~ quantenmechanische Verallgemeinerung der klassischen Hamiltonfunktion